

可乐定对严重烫伤大鼠心肌 G_α mRNA 表达的影响

张海港*, 李晓辉

(第三军医大学药理教研室, 重庆 400038)

摘要: 目的 研究可乐定对严重烫伤大鼠心肌 G_α mRNA 表达的影响。方法 将大鼠置于 95℃水浴中烫 10 s, 造成背部皮肤 30% 体表面积 III 度烫伤。分别用 dot blotting 杂交、原位杂交、放射免疫分析及间接方法测定心肌 G_α mRNA 表达水平、cAMP 生成量与 adenylyl cyclase (AC) 活性。结果 烫伤后 3 h 心肌 G_α mRNA 表达水平明显减少, 0.3, 1.0, 3.0 mg·kg⁻¹ 可乐定(ip) 可增加烫伤后心肌 G_α mRNA 表达, 表达相对量与可乐定剂量呈正相关。I₁-咪唑啉受体拮抗剂 efaxoroxan 可部分逆转可乐定增加烫伤后心肌 G_α mRNA 表达的作用, 减少量与 efaxoroxan 剂量呈显著正相关。AC 和 cAMP 的变化与 G_α mRNA 类似。结论 可乐定可增加烫伤后早期大鼠心肌 G_α mRNA 表达、AC 活性和 cAMP 产生。

关键词: 可乐定; 烧伤; 信使 RNA; 腺苷酸环化酶; 环腺苷一磷酸

中图分类号: R966; R349.64

文献标识码: A

文章编号: 0513-4870(2002)01-0019-04

严重烧伤后常有明显的心功能障碍, 其发生发展与烧伤造成的心脏前负荷下降和心脏舒缩功能降低有关^[1]。本室在既往的研究中发现, 大鼠体表严重烫伤后心肌细胞 β -肾上腺素受体 (β -adrenergic receptors, β -AR) 数目下调和 G_α 亚单位含量减少是心功能降低的重要信号转导机制之一; 可乐定可改善烫伤后减退的心功能, 提高心肌 G_α 含量, 且呈剂量依赖关系^[2,3]。为进一步探讨烧伤后心功能减退、心肌 G_α 减少及可乐定改善烧伤后心功能的分子机理, 本文通过 30% 体表面积 (total body surface area, TBSA) 皮肤 III 度烫伤大鼠模型, 研究了可乐定对严重体表烫伤后心肌 G_α mRNA 表达水平的影响。

材 料 与 方 法

药品与试剂 可乐定 (clonidine, Clo)、焦碳酸二乙酯 (diethyl pyrocarbonate, DEPC)、多聚甲醛及蛋白酶 K 购自 Sigma 公司; efaxoroxan [盐酸 2-(2-乙基-2,3-二氢-2-苯并呋喃基)-4,5-二氢-1H-咪唑, Efa] 为美国 Research Biochemicals 公司产品; 地高辛 (digoxigenin, DIG) 3' 端加尾试剂盒、DIG 标记与检测试剂盒及

Tripure RNA 抽提试剂盒均为 Boehringer Mannheim 公司产品; 大鼠 G_α 寡核苷酸探针 (5'-TCC AGA GGT CAG GAC GCG GCA GCG AAG CAG GTC CTG GTC-3') 由中国科学院上海细胞生物学研究所合成, 经 HPLC 反相柱纯化, 与大鼠 G_α cDNA 第 580~618 位核苷酸碱基互补; 环腺苷一磷酸 (cAMP) 测定试剂盒购自上海第二医科大学同位素室。

仪器 GF-1 型控时调速式高速分散器, 江苏麒麟医用仪器厂产品; ZF-90 型多功能暗箱式紫外投射仪, 上海顾村电光仪器厂产品; 台式低温离心机购自德国 Heraeus 公司; UV-26 型紫外分光光度计为日本岛津公司产品; GDS7600S 凝胶成像分析系统为美国 UVP 公司产品; 液体闪烁计数仪, 瑞典 LKB 公司产品。

动物 健康成年 ♂ Wistar 大鼠, 体重 (163~197) g, 由第三军医大学实验动物中心提供。

分组与给药 随机分为以下各组: 正常对照组以 37℃ 温水代替热水进行假烫伤; 烫伤组于 95℃ 水浴中烫 10 s; 可乐定对照组 ip 可乐定 1.0 mg·kg⁻¹, 假烫伤; 给药组分为 5 组, 其中 4 组分别于烫伤前 30 min ip 可乐定 0.1, 0.3, 1.0 和 3.0 mg·kg⁻¹, 一组于烫伤后立即给予可乐定 1.0 mg·kg⁻¹; Efa 作用组分别 ip Efa 10, 5.0 及 2.5 mg·kg⁻¹, 30 min 后 ip 可乐定 1.0 mg·kg⁻¹, 60 min 后进行烫伤; Efa 对照组 ip Efa 5.0 mg·kg⁻¹, 进行假烫伤。各组注射量均为 8.0 mL·kg⁻¹。

收稿日期: 2001-04-12.

基金项目: 国家自然科学基金资助项目(39370791).

作者简介: 张海港(1970-), 男, 讲师, 硕士.

* Tel: (023) 68752265, Fax: (023) 68753397,

E-mail: hg2@mail.tmmu.com.cn

烫伤模型制作 于致伤前一天,剪短大鼠背部占30%体表面积的毛,用 $1.2\text{ mol}\cdot\text{L}^{-1}$ Na₂S 脱净,以温水冲洗后擦干。24 h 后用乙醚麻醉,将背部置95℃水浴中烫10 s,造成30%体表面积皮肤III度烫伤(经病理检查证实)。致伤后 ip 生理盐水约5 mL 预防休克,分笼喂养,自由进食。实验时处死大鼠并取心脏置液氮中保存备用。

G_α mRNA表达量的测定^[4] 按说明书提取心肌总 RNA,紫外分光光度法定量,1%琼脂糖电泳确定其完整性。将各组总 RNA 样品用 DEPC 稀释到同一浓度,按说明书及文献进行 dot blotting 杂交,结果照片,用凝胶成像分析系统扫描各点,测定各时间点杂交信号的积分吸光度。以对照组斑点吸光度为100,求出各组杂交信号的相对吸光度(relative absorbance, RA)。同时用 DIG 标记探针 $300\text{ ng}\cdot\text{mL}^{-1}$ 进行心肌组织 G_α mRNA 原位杂交。

心肌 cAMP 产生量和 AC 活性测定 取冷冻心肌组织 $30\sim50\text{ mg}$,加入 $1\text{ mol}\cdot\text{L}^{-1}$ 高氯酸 1.5 mL ,冰浴下用高速分散器制匀浆, $4\text{ }^{\circ}\text{C}, 500\times g$ 离心5 min。取上清液 1 mL ,加入 $2\text{ mol}\cdot\text{L}^{-1}$ KOH 1 mL 中和,再次离心后取全部上清液于 $75\text{ }^{\circ}\text{C}$ 真空干燥箱中蒸干。将干渣溶于 $50\text{ mmol}\cdot\text{L}^{-1}$ 醋酸缓冲液 1 mL 中,取 0.1 mL 按照试剂盒说明书测定 cAMP 含量。AC 活性测定采用间接方法:取心肌组织 $50\sim70\text{ mg}$,加入预冷的 $50\text{ mmol}\cdot\text{L}^{-1}$ Tris-HCl 缓冲液 0.6 mL ,冰浴中制匀浆, $4\text{ }^{\circ}\text{C}, 500\times g$ 离心5 min。将沉淀溶于 0.1 mL 匀浆缓冲液中,用 Lowry 法测定蛋白含量后将膜蛋白统一稀释到 $2\text{ mg}\cdot\text{mL}^{-1}$ 。吸取膜蛋白 0.05 mL ,加入到 0.45 mL 反应缓冲液(Tris-HCl $50\text{ mmol}\cdot\text{L}^{-1}$,茶碱 $8\text{ mmol}\cdot\text{L}^{-1}$,二硫基苏糖醇 $4\text{ mmol}\cdot\text{L}^{-1}$,EGTA $1\text{ mmol}\cdot\text{L}^{-1}$,ATP $1\text{ mmol}\cdot\text{L}^{-1}$)中, $30\text{ }^{\circ}\text{C}$ 水浴中保温15 min,于沸水中加热3 min 终止反应,冷却后 $1000\times g$ 离心10 min,取上清液按前述步骤测定 cAMP 含量,以单位时间内催化产生 cAMP 的量表示酶活性。

结 果

1 可乐定对烫伤大鼠心肌 G_α mRNA 表达的影响

大鼠烫伤后3 h 心肌组织 G_α mRNA 表达明显减少。如图1 和表1 所示,烫伤前给予 $3.0, 1.0, 0.3\text{ mg}\cdot\text{kg}^{-1}$ 可乐定及烫伤后给予 $1.0\text{ mg}\cdot\text{kg}^{-1}$ 可乐定可使烫伤大鼠心肌 G_α mRNA 表达显著增加(与烫伤组相比, $P < 0.01$ 或 $P < 0.05$); 烫伤前给予 $0.1\text{ mg}\cdot\text{kg}^{-1}$ 可乐定使心肌 G_α mRNA 表达量有增加趋

势,但无统计学差异($P > 0.05$)。原位杂交可见 G_α mRNA 阳性显色为蓝紫色,可乐定 $3.0, 1.0\text{ mg}\cdot\text{kg}^{-1}$ 可使烫伤大鼠心肌 G_α mRNA 表达信号明显增强。 $3.0, 1.0\text{ mg}\cdot\text{kg}^{-1}$ 的可乐定伤前 30 min ip 可增加烫伤后 3 h 大鼠心肌 cAMP 含量及 AC 活性($P < 0.05$ 或 $P < 0.01$), $0.3, 0.1\text{ mg}\cdot\text{kg}^{-1}$ 的可乐定以及烫伤后给予 $1.0\text{ mg}\cdot\text{kg}^{-1}$ 可乐定对此无显著影响。

Table 1 Effects of clonidine (Clo, ip) on myocardial G_α mRNA expression, cAMP content and AC basal activity after scalds in rats

Group and dose/ $\text{mg}\cdot\text{kg}^{-1}$	G _α mRNA/ RA	cAMP content/ $\text{pmol}\cdot\text{g}^{-1}$	AC activity/ $\text{pmol}\cdot\text{g}^{-1}\cdot\text{s}^{-1}$
Normal control	100	744 ± 72	49 ± 13
Clo control	128 ± 68	756 ± 91	47 ± 14
Scald control	$61 \pm 20^{**}$	$604 \pm 52^{*}$	$31 \pm 8^{*}$
Clo 3.0	$139 \pm 48^{\Delta\Delta}$	$698 \pm 49^{\Delta\Delta}$	$42 \pm 9^{\Delta\Delta}$
Clo 1.0	$142 \pm 51^{\Delta\Delta}$	$658 \pm 45^{\Delta}$	$40 \pm 9^{\Delta}$
Clo 0.3	$131 \pm 28^{\Delta}$	611 ± 66	34 ± 11
Clo 0.1	106 ± 56	596 ± 70	31 ± 9
Clo 1.0 [#]	$133 \pm 64^{\Delta}$	618 ± 81	33 ± 12

$n = 8\sim10$, $\bar{x} \pm s$, * $P < 0.05$, ** $P < 0.01$ vs normal control group; $^{\Delta} P < 0.05$, $^{\Delta\Delta} P < 0.01$ vs scald group. [#] ip after scalds. RA: relative absorbance; AC: adenyl cyclase

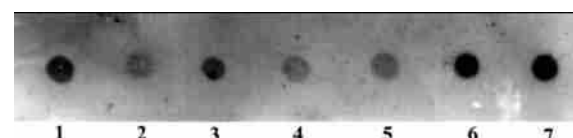


Figure 1 Effects of clonidine (Clo, ip) on myocardial G_α mRNA expression after scalds in rats (dot blotting hybridization, $2\text{ }\mu\text{g}$ total RNA per dot)
1. Normal control; 2. Scald; 3. Clo $1.0\text{ mg}\cdot\text{kg}^{-1}$, after scald; 4. Clo $0.1\text{ mg}\cdot\text{kg}^{-1}$; 5. Clo $0.3\text{ mg}\cdot\text{kg}^{-1}$; 6. Clo $1.0\text{ mg}\cdot\text{kg}^{-1}$; 7. Clo $3.0\text{ mg}\cdot\text{kg}^{-1}$

2 Efa 对可乐定增加烫伤大鼠心肌 G_α mRNA 表达作用的影响

如图2 所示,预先给予 $10\text{ mg}\cdot\text{kg}^{-1}$ 或 $5\text{ mg}\cdot\text{kg}^{-1}$ 的 Efa 可使应用 $1\text{ mg}\cdot\text{kg}^{-1}$ 的可乐定后烫伤大鼠心肌 G_α mRNA 表达量减少,表达相对量分别减少 50% 和 31%(表2)。同时 AC 活性下降,cAMP 含量减少,而 $2.5\text{ mg}\cdot\text{kg}^{-1}$ 的 Efa 对之则无明显影响($P > 0.05$)。Efa 剂量与 G_α mRNA 减少量呈显著正相关($y = 0.900$, $P < 0.05$)。结果表明,Efa 可部分拮抗可乐定的增加烫伤大鼠心肌 G_α mRNA 表达、增强 AC 活性和增加 cAMP 含量的作用。

Table 2 Effects of efavoxan (Efa, ip) on the action of Clonidine (1.0 mg·kg⁻¹, ip) on myocardial G_α mRNA, cAMP content and AC basal activity after scalds in rats

Group and dose/ mg·kg ⁻¹	G _α mRNA/ RA	cAMP content/ pmol·g ⁻¹	AC activity/ pmol·g ⁻¹ ·s ⁻¹
Normal control	100	744 ± 72	49 ± 13
Scald	61 ± 20 * * △△	604 ± 52 * △△	31 ± 8 * △△
Efa control	68 ± 13 * * △△	578 ± 93 * △△	31 ± 12 * △△
Clo 1.0	125 ± 44	658 ± 45	40 ± 9
Efa 1 + Clo 1.0	62 ± 19 * * △△	580 ± 75 * * △△	32 ± 7 * * △△
Efa 5.0 + Clo 1.0	86 ± 22 * △△	606 ± 41 * △△	36 ± 5 * △
Efa 2.5 + Clo 1.0	107 ± 16	683 ± 76	39 ± 9

n=8~10, *x*±*s*, * *P*<0.05, ** *P*<0.01 vs normal control group; △ *P*<0.05, △△ *P*<0.01 vs Clo (1.0 mg·kg⁻¹, ip) group. AC: adenylyl cyclase

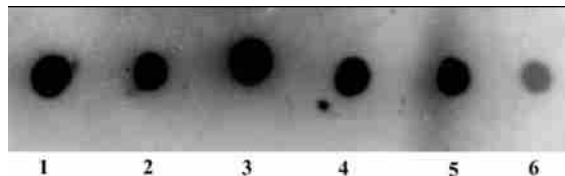


Figure 2 Effects of efavoxan (Efa, ip) on the action of clonidine (Clo, 1.0 mg·kg⁻¹, ip) on myocardial G_αmRNA expression after scalds in rats (dot blotting hybridization, 8 μg total RNA per dot)

1. Normal control; 2. Scald; 3. Scald + Clo 1.0 mg·kg⁻¹; 4. Efa 2.5 mg·kg⁻¹ + Clo 1.0 mg·kg⁻¹; 5. Efa 5.0 mg·kg⁻¹ + Clo 1.0 mg·kg⁻¹; 6. Efa 10 mg·kg⁻¹ + Clo 1.0 mg·kg⁻¹

讨 论

可乐定作为抗高血压药已在临床应用多年,疗效可靠。后来人们在进一步的研究中发现可乐定有广泛的药理作用^[5,6],可抑制严重烧伤后毛细血管通透性增加,减轻水肿形成,降低烧伤后的全血粘度及纤维蛋白原浓度,红细胞聚集指数,增强红细胞表面谷胱甘肽还原酶活性,改善微循环,对于烧伤后休克溶血有保护作用^[7-9]。本室既往研究曾发现可乐定可显著增加烫伤大鼠心肌β肾上腺素受体密度,提高G_α蛋白含量,使cAMP生成增多,改善心功能^[3,10]。本实验观察到大鼠烫伤后心肌G_αmRNA表达减少,而可乐定可明显改善烫伤后心肌G_αmRNA的表达,并与其增加AC活性和cAMP含量的作用正相关,说明在可乐定改善烫伤后心功能的过程中G_α亚单位及其mRNA起着重要的作用,

可乐定通过促进G_α基因的转录而增加G_α量,通过级联反应增加cAMP的生成,加强心肌收缩力,改善心功能。可乐定0.3 mg·kg⁻¹可增加大鼠烫伤后3 h心肌G_αmRNA表达以及烫伤后12 h心肌AC活性和cAMP含量^[10],但对烫伤后3 h AC活性和cAMP含量无明显影响。因此,可乐定增加G_αmRNA表达在时间上早于cAMP的生成增加。

Efaroxan是近年来应用广泛的I₁-咪唑啉受体特异性拮抗剂^[11-13]。本实验观察到efaroxan可部分逆转可乐定增加G_αmRNA表达,增强AC活性和增加cAMP产生的作用,提示可乐定发挥上述作用可能与I₁受体有一定的关系。有报道^[9,10]α₂受体拮抗剂亨宾也可部分逆转可乐定改善烧伤后水肿、溶血、增加cAMP产生等作用,提示可乐定改善烧伤后循环功能可能不是通过单一途径,而可能是通过I₁R和α₂-AR等两种或多种受体介导的几条信号转导通路共同发挥作用的,确切机制尚需进一步的深入研究。

REFERENCES:

- Horton JW, Garcia NM, White DJ, et al. Postburn cardiac contractile function and biochemical markers of postburn cardiac injury. *J Am Coll Surg* [J], 1995, 181(4):289-298.
- Sun JW, Song YN, Li FT, et al. Effect of clonidine on the changes of cardiac function and myocardial β-adrenergic receptor in rats in the early stage of burn injury. *Chin J Traumatol* (中华创伤杂志) [J], 1997, 13(4):235-236.
- Li XH, He BB, Li SH, et al. Changes of G_α expression in myocardium after severe scalds in rats. *Chin J Pathophysiol* (中国病理生理杂志) [J], 1998, 14(suppl):846-847.
- Yang QF, Chen B, Yang H, et al. Expression of CNTFR_AmRNA in rat spinal cord and its changes following crush of sciatic nerve. *Bull Acad Mil Med Sci* (军事医学科学院院刊) [J], 1998, 22(2):84-87.
- Kariya N, Shindoh M, Nishi S, et al. Oral clonidine for sedation and analgesia in a burn patient. *J Clin Anesth* [J], 1998, 10(6):514-517.
- Tryba M, Kulkarni PJ. Critical care pharmacotherapy. A review. *Drugs* [J], 1993, 45(3):338-352.
- Song XD, Qin WJ, Li J, et al. Changes of postburn hemorheology in rats and effect of clonidine. *Chin J Hemorheol* (中国血液流变学杂志) [J], 1995, 5(2):11-13.
- Wang P, Tao JY, Xu SY. Inhibitory effect of clonidine on hemolysis after thermal injury in animals. *Acta Pharmacol Sin* [J], 1992, 13(1):45-47.
- Jiang DJ, Tao JY, Xu SY. Inhibitory effects of clonidine on edema formation after thermal injury in mice and rats. *Acta Pharmacol Sin* [J], 1989, 10(6):540-542.
- He HM, Sun JW, Xiao CR, et al. Effects of clonidine on

- myocardial β -adrenergic receptor adenyl cyclase-cAMP system after scalds in rats. *Acta Pharmacol Sin* [J], 1997, 18(2): 146 - 149.
- [11] Mukaddam-Daher S, Gutkowska J. Atrial natriuretic peptide is involved in renal actions of moxonidine. *Hypertension* [J], 2000, 35(6): 1215 - 1220.
- [12] Separovic D, Kester M, Ernsberger P. Coupling of I_1 -imidazoline receptors to diacylglyceride accumulation in PC12 rat pheochromocytoma cells. *Mol Pharmacol* [J], 1996, 49(4): 668 - 675.
- [13] Ernsberger P. Arachidonic acid release from PC12 pheochromocytoma cells is regulated by I_1 -imidazoline receptors. *J Auton Nerv Syst* [J], 1998, 72(2 - 3): 147 - 154.

EFFECTS OF CLONIDINE ON MYOCARDIAL G_{α} mRNA EXPRESSION AFTER SCALDS IN RATS

ZHANG Haigang, LI Xiaohui

(Department of Pharmacology, Third Military Medical University, Chongqing 400038, China)

ABSTRACT: **AIM** To explore the role of clonidine (Clo) on myocardial G_{α} mRNA expression after scalds in rats. **METHODS** A 30% skin-full-thickness scald was produced by immersing rats in 95°C water for 10 s. The myocardial G_{α} mRNA expression level, cyclic AMP content and adenylyl cyclase (AC) activity were determined with dot blotting hybridization, *in situ* hybridization, radioimmunoassay and indirect method. **RESULTS** Three hours after scalds, the myocardial G_{α} mRNA was significantly decreased to (61 ± 20) % of the control group ($P < 0.01$). AC activity and cAMP content were also decreased. Clo (0.3, 1.0 and 3.0 $\text{mg} \cdot \text{kg}^{-1}$, ip) was shown to increase myocardial G_{α} mRNA expression level ($P < 0.01$ or $P < 0.05$) after scalds to (131 ± 28) %, (142 ± 51) % and (139 ± 48) % of the scald group, respectively, which were correlated with the Clo dose ($\gamma = 0.597$, $P < 0.05$). Clo 1.0 $\text{mg} \cdot \text{kg}^{-1}$ and 3.0 $\text{mg} \cdot \text{kg}^{-1}$ (ip) promoted AC activity and increased cAMP content, but Clo 0.3 and 0.1 $\text{mg} \cdot \text{kg}^{-1}$ showed no significant effect ($P > 0.05$). Selective I_1 -imidazoline receptor antagonist efavoxan (Efa) (10, 5 $\text{mg} \cdot \text{kg}^{-1}$, ip) was found to partially reverse the effect of Clo, while Efa 2.5 $\text{mg} \cdot \text{kg}^{-1}$ showed no significantly influence. The reduced quantity of G_{α} mRNA expression level correlated well with the Efa dose ($\gamma = 0.900$, $P < 0.05$). The change of AC and cAMP was similar to G_{α} mRNA. **CONCLUSION** Clo increased the myocardial G_{α} mRNA expression, AC activity and cAMP content after scalds in rats.

KEY WORDS: clonidine; burns; messenger RNA; adenylyl cyclase; cyclic AMP